

콘크리트 재령에 따른 철근콘크리트 보의 부착응력에 관한 실험적 연구

Bond Characteristics of Reinforced Concrete Beams According to Material Age

류수현*

Ryu, Soo-Hyun

유호현**

Yu, Ho-Hyun

최효석**

Choi, Hyo-Seok

정재훈***

Jeong, Jae-Hun

이주일**

Lee, Joo-Il

김진무***

Kim, Jin-Mu

Abstract

Reinforced concrete structure resist to external load caused by integration of steel bar and concrete and this integration is obtained from bond stress between steel bar and concrete. Researchers of bond stress between steel bar and concrete have been performed by many researcher, but existent researches of bond stress are concerned with compression strength of well cured concrete and insufficient study of bond stress according to early material. The secure regular strength of concrete in early age is caused by rapid velocity of early hardening process, but questionable bond stress in early age is proportion to strength of that. So this study performed experiments to compare bond stress according to material age and compression strength. The result is showed that bonding strength in early material age compare the ratio of concrete compression strength with the ratio of maximum bond stress the later inferior on the former.

Keywords: Bond stress, Material age

1. 서 론

철근콘크리트 구조에서 부착응력에 의해 철근과 콘크리트의 일체성이 확보되며, 부착응력은 철근콘크리트 구조물의 역학적 기동을 규명하는데 중요한 요소가

된다.

따라서 철근 콘크리트 구조에서 부착응력에 관한 연구는 국내외에서 많은 연구가 이루어져 왔으며 대부분이 공식화한 이용한 인증실험에 의존한 연구이고, 구조부재에 적용된 실현 또한 여러 가지 변수를 가지고

* 경희원 산업체명대학 견학생과 전원길

** 경희원, 세우건축구조연구소, 공학박사

*** 경희원, 세우건축구조연구소, 공학박사

E-mail : ryu129@syn.ac.kr 010-511-2074

● 저 논문에 대한 토의를 2002년 7월 31일까지 학회로 보내주시면 2002년 7월초에 토론회 개최하겠습니다.

수행되어 왔으나, 이는 주로 충분히 양생된 콘크리트에서 압축강도와 무착용력의 관계에 초점이 맞추어 왔다.

그러나 양생중인 콘크리트는 그 특성상 초기 경화속도가 매우 빨라 초기에 일정강도 이상을 확보할 수 있으나 초기재령에서 철근의 무착용력이 콘크리트의 강도에 비례하여 증가하는지에 대해서는 의문이 뒤된다.²⁾

따라서 본 연구는 철근콘크리트 모형 실험체를 제작하여 콘크리트 초기재령(3월, 7월)에 따른 철근의 무착용력과 재령 28일에서의 무착용력과 비교하고, 재령별 콘크리트 압축강도와 무착용력이 보이는 상관관계를 고찰하고자 하며, 이를 통하여 초기재령에 따른 무착강도 유연성을 계약하여 구조설계 지침의 기초 자료를 제시하고자 한다.

2. 실험계획 및 실험

2.1 사용재료

본 연구에서 사용한 콘크리트는 설계기준강도 210, 400kg/cm²의 2종류이며, 이들의 사용재료 및 배합비는 Table 1과 같다. 철근의 기계적 성질을 파악하기 위하여 KS B 0801에 준하여 시험연은 각각 3개씩 제작하였고, KS B 0802에 의거하여 시험하였으며, 그 결과는 Table 2와 같다. 또한 압축강도를 측정하기 위하여 지름10cm, 높이 20cm인 판수형공시

Table 1 콘크리트의 사용재료 및 배합비

설계 기준강도 (kg/cm ²)	W/C	슬립표 (mm)	단위중량(kg/m ³)			
			장	시멘트	모래	자갈
210	50	9	160	300	6125	1053
400	40	8	148	450	7226	1020

Table 2 강재의 인장강도 실험결과

철근의 종류	σ_y (kg/cm ²)	σ_c (kg/cm ²)	σ/σ_y (%)	ϵ_y	E Modulus/cm ²	Elo (%)
D19	4530	6970	64.9	2000	2265	20.2
#6	4050	6330	63.9	2162	1856	12.2

σ_y : 향후강도, σ_c : 인장강도, ϵ_y : 향복면형도.

E : 단성계수, Elo : 연성률

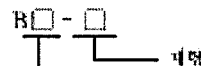
체를 강도별, 재령별로 각 3개씩 1개씩 제작하여 시험을 실시하였으며, Table 3에 그 결과를 나타내었다.

2.2 실험체의 제작

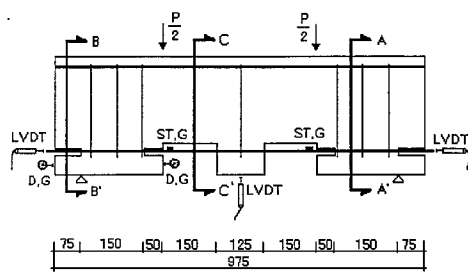
실험체는 ACI 208-58에 준하여 제작하였으며 Fig. 1에서와 같이 하중단이 50mm와 장위를 예선 하중단이 꾸려놓은 반대 과정되지 않도록 수정하였다. 실험체의 길이는 97.5cm(38inch)이고, 지원간 거리는 82.5cm(32inch)로 하였으며, 무착깊이는 제

Table 3 실험체의 종류 및 압축강도시험 결과

실험체명	콘크리트 재령 (일)	제령별 압축강도 (kg/cm ²)
B261-3	3	167
B261-7	7	234
B261-28	28	261
B416-3	3	324
B416-7	7	391
B416-28	28	416



제작 28일 콘크리트 압축강도



실험체 입면도

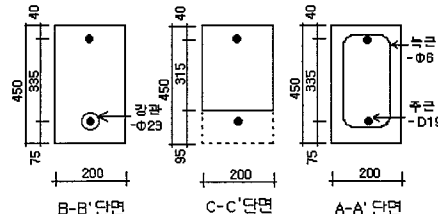


Fig. 1 실험체 제작도 및 측정위치

한편 SD-16D중에서 무착용력이 얼마나도록 하기 위해서 가장 최소값인 SD(Ginch)을 베례 실험을 수행하였다. 철근은 상단근과 하단근에 각각 1-DLB를 배근하였고, 스테腥은 #6으로 보강하였다.¹¹⁾

하단근의 자유단과 하중단에는 원반에 의한 채기령 파괴를 방지하기 위해 강관을 자유단에 7.5cm, 하중단에 5cm로 배워하였고, 파복구에게 의한 한削弱을 방지하기 위하여 실험체 하중에서 단장철근 중심까지 시리는 7.5cm로 하였다.

콘크리트는 압축강도와 2종류, 거령을 3단계로 분류하여 총 6개의 모 실험체를 Table 3과 같이 차자, 수용양정하였다.

2.3 기력 및 속점

실험은 H형강을 사용하여 1000ton 하중에 안전하고 척박한 가구에서 실시하였다. 하중가려는 50ton 용량의 오일 세이프 헤드에 장착사에서 가려하였고, 오일 세의 헤드에 로드셀을 설치하여 하중을 측정하였다. 가려지점은 각 지점에서 20cm 떨어진 위치에서 2점 집중하중이 되도록 하였다.

가속도는 50kg/sec²로 하였으며, 측정위치는 Fig.

1에서 보는 바와 같이 슬립량을 측정하기 위해 철근의 양단과, 수직지점유 측정하기 위해 모 중앙부에 면위계(LVDT)를 설치하였다. 또 콘크리트의 기증을 측정하기 위하여 다이얼 게이지와 2곳에 설치하였고 변형도 값을 얻기 위하여 스트레칭 게이지와 양장철근에 2개소 설치하였다. 각각의 게이지 값은 자동변형도 측정기(Data Logger-TDS3021)를 이용하여 컴퓨터로 저장되도록 하였다.

3. 실험결과 및 고찰

3.1 실험결과

Fig. 2, Fig. 3은 B261제원과 B416제원에서 평균 3일과 7일, 28일에서의 무착용력-슬립 국선이다. 것으로, 철근에 따른 무착용력은 슬립량 0.1mm 이전은 7일과 28일이 유사한 양상유 나타내고 있으며, 슬립량 0.1mm를 넘어선 이후는 3일과 7일이 유사한 양상유 나타낸다.

이어서 무착용력을 무착구간에 동일한 용력이 분포한다는 가정하에 산정하였으며, 축방향으로 미소길이 dx의 단면에서 용력을 Fig. 4와 같은 분포를 보이고, 휨입축용력의 합력과 철근 인장용력의 합력 사이의

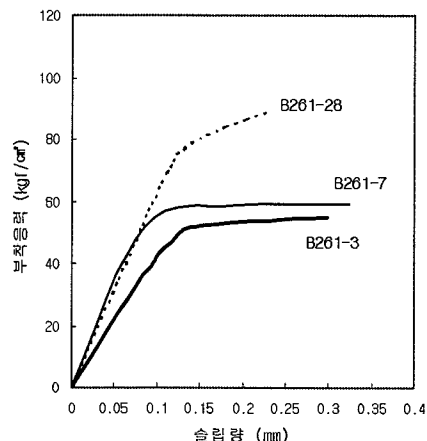


Fig. 2 B261제원의 무착용력-슬립 국선
(한축감도 261kgf/cm²)

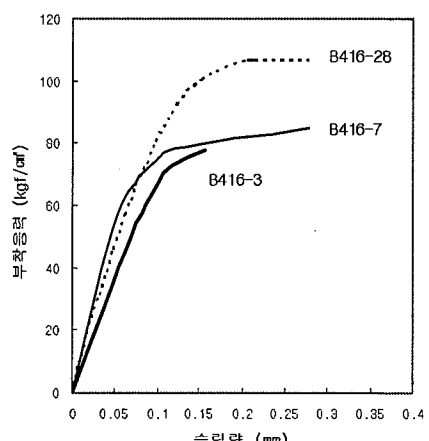


Fig. 3 B416제원의 무착용력-슬립 국선
(한축감도 416kgf/cm²)

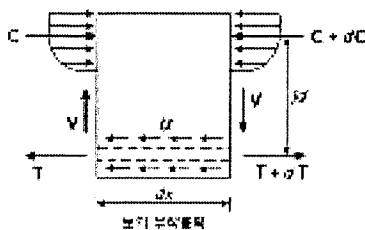


Fig. 4 보의 무착용력에 관한 자유면계도

증여층심가리를 δc 로 나타내면 보의 평균무착용력은 식 (1)과 같다.

$$u = \frac{V}{\sum_i j d_i} \quad (1)$$

여기서, $\sum_i j d_i$: 철근의 수장($\pi \cdot Dl$).

무착용력에 관한 규준으로는 ASTM에서 철근이 인장력을 받을 때 계산된 철근의 슬립이 0.25mm 발생하였을 때와 자유단의 마끄리킹이 0.05mm 발생하였을 때를 임계슬립으로 보고 그때의 증여율 임계무착용력으로 산정하는데, 본 연구에서는 임계무착용력을 산정하는 시점은 자유단에서의 철근의 변위가 0.05mm 발생시정으로 정하였다. 계획단에서는 철근의 슬립에 의한 변위와 철근재의 높이단에 의한 변위를 구분하여 측정하기가 어려우므로 자유단에서 보다 정확한 무착용력을 산정할 수 있기 때문에 자유단 슬립량 0.05mm 뿐 아니라 0.10mm에서와 무착용력과 최대 무착용력의 양상도 살펴보았다. 이를 정리하여 Table 4에 나타내었으며, 각 실험체별로 슬립량 0.05~0.25mm범위에서 0.05mm마다 측정한 무착용력값을 나타내었다.¹²⁾

무착용력 산정은 식 (1)에 의해 각각의 슬립량에 따라 구하였다고, 최대무착용력은 실험체와 계획사의 무착용력으로 하였다.

3.2 분석 및 고찰

3.2.1 계획에 따른 분석

Table 4 실험체별 무착용력

(단위 : kg/cm²)

실험체명	t _d	u					u _{max}
		0.05 (mm)	0.1 (mm)	0.15 (mm)	0.2 (mm)	0.25 (mm)	
B210-3	187	22	43	51	51	56	58
B210-7	234	37	57	59	60	60	62
B210-26	261	56	66	69	84	90	99
B400-3	324	38	63	76	77	79	79
B400-7	391	55	76	79	80	83	87
B400-26	416	80	79	100	105	105	106

t_d : 콘크리트임축간도 u : 무착용력, u_{max} : 최대무착용력

임계슬립(자유단 0.05mm슬립)에서 7일과 28일에 차의 무착용력은 각 계열 모두 유사하며 3일인 경우 28일 무착용력과 비교하면, B261계열은 0.61, B416계열은 0.76으로 차가 나타났으나, 계령 7일에서 측정한 무착용력을 발휘한 것으로 판단되며, 슬립량 0.15mm에서 계령 7일인 경우와 28일 무착용력과 비교하면 B261계열은 0.74, B416계열은 0.79로 나타났다.

또한 Fig. 2, 3을 보면 슬립량 0.1mm 이전에서는 7일과 28일에서 유사한 양상을 나타내고 있으며, 슬립량 0.1mm를 넘어서는 3일과 7일이 유사한 양상을 나타냈다. 이는 콘크리트와 파생상 재령 7일 경우 28일 정도의 90% 이상의 강도가 발현되어 초기슬립시 28일과 유사한 무착용력상태를 나타내나 임계슬립을 지나면서 무착용력의 차이로 인해 계령 3일과 비슷한 양상을 보인 것으로 사료된다.

Table 5는 계령 28일에 대한 초기재령(3, 7일)의 콘크리트 압축강도비(f_{c}/f_{c0})와 무착용력비(u/u_0) 그리고 콘크리트 압축강도비에 대한 무착용력비($\frac{u/f_{c}}{f_{c}/f_{c0}}$)를 나타낸 것이다.

재령 3일일 때 슬립량 0.05mm와 0.1mm에서 B261계열의 무착용력비가 0.61과 0.66로 콘크리트 압축강도비 0.72에 비해 차가 나타났다. B416계열의 무착용력비는 0.76과 0.80으로 압축강도비인 0.78과 비슷하게 나타났다.

각 계열의 콘크리트 압축강도비에 대한 무착용력비

Table 5 압축강도비의 부착율비

실험 번호	f_c (kgf/cm ²)	a/28u					$a_{28u}/28u_{28u}$
		0.05 mm	0.10 mm	0.15 mm	0.20 mm	0.25 mm	
B261-3	187	0.61	0.65	0.64	0.63	0.62	0.64
B261-7	234	1.03	0.86	0.74	0.71	0.67	0.69
B261-28	261	1.00	1.00	1.00	1.00	1.00	1.00
B416-3	324	0.78	0.89	0.78	0.73	0.75	0.75
B416-7	391	1.10	0.96	0.79	0.76	0.79	0.83
B416-28	416	1.00	1.00	1.00	1.00	1.00	1.00

실험 번호	f_c 28u	a/28u					$a_{28u}/28u_{28u}$
		0.05 mm	0.10 mm	0.15 mm	0.20 mm	0.25 mm	
B261-3	0.72	0.85	0.90	0.89	0.88	0.86	0.89
B261-7	0.91	1.13	0.95	0.81	0.78	0.74	0.76
B261-28	1.00	1.00	1.00	1.00	1.00	1.00	1.00
B416-3	0.78	0.97	1.03	0.97	0.94	0.96	0.96
B416-7	0.94	1.17	1.02	0.84	0.81	0.84	0.88
B416-28	1.00	1.00	1.00	1.00	1.00	1.00	1.00

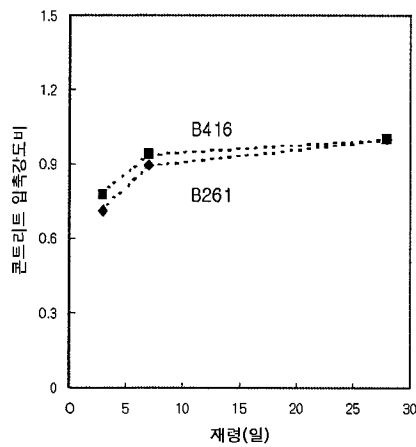
여기서, $28u_{28u}$, $28u$: 재령 28일의 압축강도와 무착용력

Fig. 5 재령별 콘크리트 압축강도비

$\frac{m/28u}{f_m/28u_{28u}}$ -1위 분석하면 B261개원은 재령 3일은 0.89에서 재령 7일은 0.76으로, B416개원은 재령 3일은 0.06에서 재령 7일은 0.88로 각각 서해되는 것 으로 나타나 무착용력과 압축강도의 증가에 비례하여 증가하지 않았으며 압축강도가 증가한수록 약간씩 감소하였다.

Fig. 5와 Fig. 6은 재령별 콘크리트 압축강도비와 최대무착용력비를 나타낸 것이다. 재령 7일에서 콘크리트 압축강도비가 높게 평가된 이유 최대무착용력비는 이에 미치지 못하는 것으로 나타났다.

3.2.2 압축강도에 따른 분석

Fig. 7-9에 나타낸 바와 같이 초기재령(3일, 7일)과 재령 28일을 비교하였을 때 콘크리트 압축강도에 따른 무착용력의 차이는 초기재령(3일, 7일)에서 더 큰 것으로 나타났다. 이는 콘크리트의 초기 재령에서 고강도 콘크리트와 강도방한이 더 빠르기 때문인 것으로 사료된다.

재령 3일의 무착용력 평선은 슬립량 0.05mm에서부터 다소 차이를 나타내기 시작하다가 슬립량 0.1mm에서 차이가 크게 나타났으며 슬립판이 커질수록 무착용력의 차이의 폭도 커지는 것으로 나타났다. 재령 7일의 무착용력도 평선은 재령 3일에 비해서는 다소 그

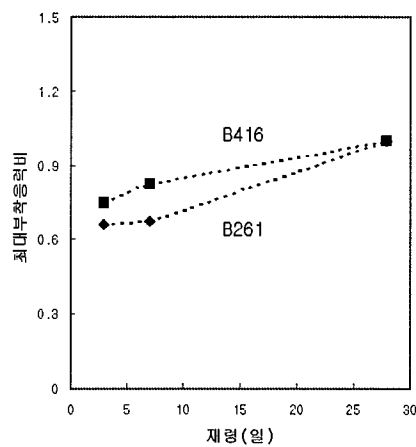


Fig. 6 재령별 최대무착용력비

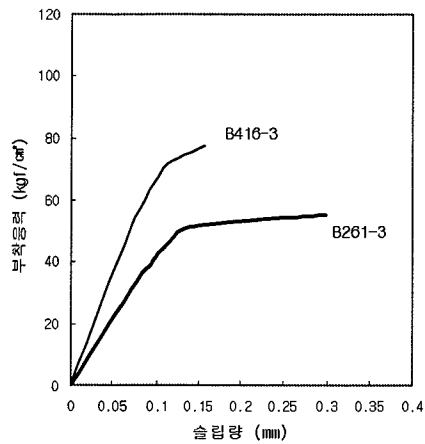


Fig. 7 제7일 3일의 무착용력

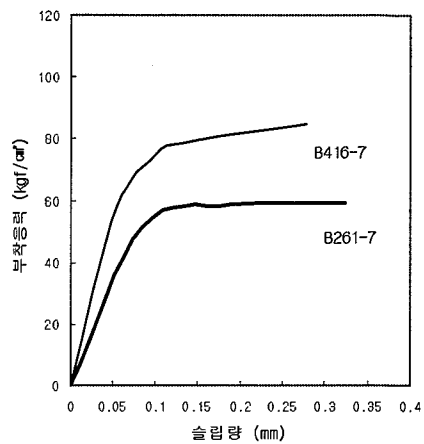


Fig. 8 제7일 7일의 무착용력

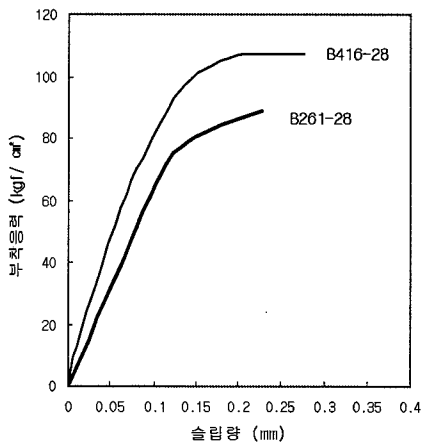


Fig. 9 제7일 28일의 무착용력

차이가 작았지만 0.1mm에서부터 무착용력의 차이가 크게 나타났다. 제7일 28일에서는 슬립량이 0.1mm를 넘어서 무착용력의 차이가 나타났다.

3.3.3 판코리트와 쟈링과 강도에 따른 성관관계

Fig. 10은 세종행 판코리트 압축강도와 최대무착용력의 성관관계를 비교해 나타낸 것이다. B261-28신인체의 판코리트 압축강도가 261 kgf/cm²일 때 최대무착용력이 90kgf/cm²으로 나타났고, B416-3 신인

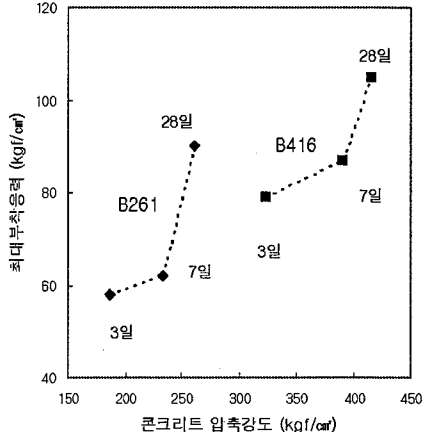


Fig. 10 압축강도와 최대무착용력의 실관관계

체의 판코리트 압축강도가 324 kgf/cm²일 때 최대무착용력이 70kgf/cm²로, 나아나 B416제7일의 초기제7일 3일의 압축강도가 B261제7일의 제7일 28일과 압축강도 보다 크게 나타났음에도 불구하고 최대무착용력이 작게 나타났다. 이는 판코리트제7일과 차이로 인해 생기는 판코리트내부의 수분함량, 수화작용등 재료적인 요소가 영향을 미쳤을 것으로 사료된다.

따라서 판코리트 압축강도가 높아도 초기제7일에서는 무착용력의 기대치가 그에 미치지 못하는 것으로 판단

되며 압축강도와 무착용력의 비례가 초기재령에서 성립되지 않는 것으로 판단된다.

4. 결 론

초기재령의 철근콘크리트 보에서 무착용력을 규명하기 위해 콘크리트 강도와 재령을 수요변수로 두어 실험을 수행하여 얻은 결과는 다음과 같다.

- 1) 재령에 따른 본식경과 무착용력은 슬립량 0.1 mm 이전에서는 7일과 28일에서 유사한 양상을 나타내고 있으며, 슬립량 0.1mm를 넘어서는 이후부터는 3일과 7일이 유사한 양상을 나타냈다.
- 2) 콘크리트 압축강도에 의한 무착용력의 차이는 28일에 비하여 초기재령(3일, 7일)에서 더 큰 것으로 나타났으며 이는 콘크리트의 초기 재령에서 고강도 콘크리트의 강도방해가 더 확연히 발생된 것으로 사료된다.
- 3) B261-28실험체에서 압축강도가 261kgf/cm²일 때 최대무착용력이 90kgf/cm²로 나타났고, B41G-3실험체에서 압축강도가 324kgf/cm²일 때 최대무착용력이 79kgf/cm²로 나타나 초기재령에서는 콘크리트의 압축강도가 재령28일 압축강도보다 높아도 무착용력이 그에 미치지 못하는 것으로 평가되었다.

참 고 문 헌

1. 권모현, "고강도 콘크리트를 사용한 철근콘크리트부재의 무착용력에 관한 실험적 연구", 중앙대, 1996.
2. 박기철, 정현수, 김석재, "고강도 콘크리트를 사용한 R-C 보의 무착강도에 관한 실험적 연구", 대한건축학회 학술발표 논문집 제6권 제1호, 1986. 4.
3. 이철원, "철근콘크리트의 무착강도에 관한 연구", 청남대, 1995.
4. 신성우, 이봉수, 단종문, 유희철, 이봉수, "고강도 콘크리트에 대한 철근의 부착특성", 한국콘크리트학회 학술발표회 논문집, 제16권 2호.
5. 오병환, "철근콘크리트부재의 무착거리를 관찰 해석 모형", 콘크리트학회 논문집 제3권 2호, 1991. 6.
6. 오병환, "철근콘크리트 험설(引張) 무착부성 연구", 콘크리트학회 논문집 제11권 1호, 1992. 9.
7. 오병환, 정명진, 이정호, 밤기성, "철근콘크리트부재의 무착부성에 관한 실험적 연구", 콘크리트학회 논문집 제2권 4호, 1980. 12.
8. 오병환, 이정호, 밤기성, "철근콘크리트부재의 무착거리를 관찰 실험적 연구", 한국콘크리트학회 출판 학술발표회 논문집 제2권 1호, 1990. 5.
9. 윤호현, "무착력을 저작한 철근의 무착용력에 관찰 실험적 연구", 건국대, 1990.
10. 장문준, "이형침습을 사용한 R-C 보의 무착강도에 관한 실험적 연구", 중앙대, 1999.
11. 권명진, "철근콘크리트 무착강도에 관한 실험적 연구", 건국대, 1991.
12. ACI Committee 318M-95, Building Code Requirements for Reinforced Concrete Institute.
13. ACI Committee 208-58 Test Procedure to Determine Relative Bond Value of Reinforcing Bars, ACI Journal, July 1958.
14. ACI Committee 403, A Guide for Determination of Bond Strength, ACI Journal, NO.2, 1964.
15. G.J.Al-Sulaimani, M.Kaleemullah, and Rashiduzzaman, "Influence of Corrosion and Cracking on Bond Behavior and Strength of Reinforced Concrete Members", ACI Structural Journal, Vol.87, NO.2, March-April 1990.
16. Mattoy, Robert G. and Watzstein, David, "Investigation of Bond in Beam and Pull-out specimens with High-Yield-Strength Deformed Bars", ACI Journal, Vol.57, NO.9, Mar 1961.

(접수일자 : 2001년 4월 9일)